

**EM505 - RESISTÊNCIA DOS MATERIAIS II**  
**Prof. Euclides Mesquita Neto e Marco Lúcio Bittencourt**  
**Segunda Prova - Data: 18/06/97**

**QUESTÃO 1 (Valor 2,0):** Um certo corpo de prova de diâmetro  $d = 2\text{cm}$  foi submetido a um ensaio de torção, verificando-se a falha, segundo o critério da máxima energia de distorção, para um torque máximo  $T = 200\text{N.m}$ , conforme ilustrado na Figura 1. Sabendo-se que uma certa viga bi-apoiada de mesmo material (ver Figura 1) foi submetida a uma carga distribuída  $q_0$ , determinar o valor máximo de  $q_0$ . Dados:  $L = 2\text{m}$ ;  $b = 10\text{cm}$ ;  $h = 20\text{cm}$ .

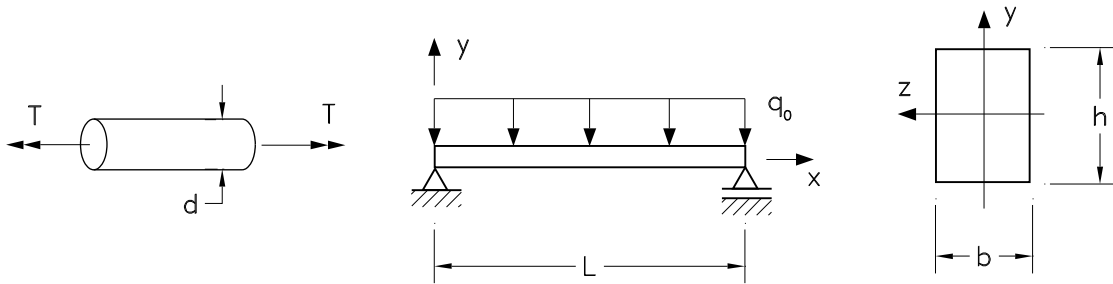


Figura 1: Questão 1.

**Solução da questão 1:**

- A tensão máxima de cisalhamento no corpo de prova é calculada como,

$$\tau = \frac{M_x}{I_p} \cdot \frac{d}{2} = \frac{M_x}{\frac{\pi d^4}{32}} \cdot \frac{d}{2} = \frac{16}{\pi} \frac{M_x}{d^3} = \frac{16}{\pi} \frac{200 \cdot 10^2}{2^3} = 1,27 \times 10^4 \text{N/cm}^2$$

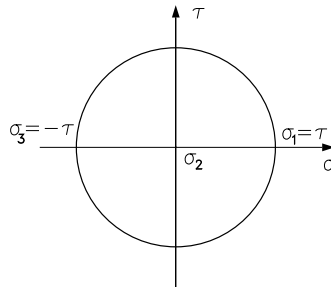


Figura 2: Círculo de Mohr para o corpo de prova da questão 1.

O respectivo estado de tensão está indicado no círculo de Mohr da Figura 2. A energia de distorção associada a este estado de cisalhamento puro ( $\sigma_1 = \tau$ ;  $\sigma_2 = -\tau$ ;  $\sigma_3 = 0$ ) é dada por,

$$U_{dist} = \frac{1}{12G} [(\sigma_1 - \sigma_2)^2 + (\sigma_2 - \sigma_3)^2 + (\sigma_3 - \sigma_1)^2] = \frac{1}{12G} [(\sigma_1 - \sigma_2)^2 + \sigma_1^2 + \sigma_2^2]$$

$$U_{dist} = \frac{1}{12G} [4\tau^2 + \tau^2 + \tau^2] = \frac{6\tau^2}{12G} \tag{1}$$

- Considerando agora a viga, utiliza-se a integração diferencial para determinar o momento máximo e conseqüentemente a tensão máxima.

- Equação de carregamento:  $q(x) = -q_0$
- Condições de contorno  
 $M_z(x=0) = M_z(x=L)$   
 $v(x=0) = v(x=L) = 0$
- Integração da equação diferencial:  $EI_z \frac{d^4 v}{dx^4} = q(x) = -q_0$

- \* 1ª integração: força cortante

$$V_y = EI_z \frac{d^3 v}{dx^3} = -q_0 x + C_1$$

- \* 2ª integração: momento fletor

$$M_z = EI_z \frac{d^2 v}{dx^2} = -q_0 \frac{x^2}{2} + C_1 x + C_2$$

- \* 3ª integração: rotação

$$EI_z \frac{dv}{dx} = -q_0 \frac{x^3}{6} + C_1 \frac{x^2}{2} + C_2 x + C_3$$

- \* 4ª integração: deslocamento transversal

$$EI_z v = -q_0 \frac{x^4}{24} + C_1 \frac{x^3}{6} + C_2 \frac{x^2}{2} + C_3 x + C_4$$

- Determinação das constantes de integração

$$M_z(x=0) = -q_0 \frac{(0)^2}{2} + C_1(0) + C_2 = 0 \rightarrow C_2 = 0$$

$$M_z(x=L) = -q_0 \frac{(L)^2}{2} + C_1(L) + 0 = 0 \rightarrow C_1 = \frac{q_0 L}{2}$$

$$EI_z v(x=0) = -q_0 \frac{0^4}{24} + C_1 \frac{0^3}{6} + C_2 \frac{0^2}{2} + C_3 \cdot 0 + C_4 = 0 \rightarrow C_4 = 0$$

$$EI_z v(x=L) = -q_0 \frac{L^4}{24} + q_0 \frac{L^3}{6} + 0 \frac{0^2}{2} + C_3 L + 0 = 0 \rightarrow C_3 = -\frac{q_0 L^3}{24}$$

- Equações finais

- \* força cortante:  $V_y = -q_0 x + \frac{q_0 L}{2} = -q_0 \left(x - \frac{L}{2}\right)$

- \* momento fletor:  $M_z(x) = -q_0 \frac{x^2}{2} + q_0 L \frac{x}{2} = -\frac{q_0}{2} (x^2 - Lx)$

- \* rotação:  $EI_z \frac{dv}{dx} = -q_0 \frac{x^3}{6} + q_0 L \frac{x^2}{4} - \frac{q_0 L^3}{24} x$

- \* deslocamento:  $EI_z v(x) = -q_0 \frac{x^4}{24} + q_0 L \frac{x^3}{12} - q_0 L^2 \frac{x^2}{24}$

- Ponto de máximo momento fletor:

$$V_y = -q_0 x + \frac{q_0 L}{2} = -q_0 \left(x - \frac{L}{2}\right) = 0 \rightarrow x = \frac{L}{2}$$

O valor do momento em  $x = L/2$  é dado por,

$$M_z \left(x = \frac{L}{2}\right) = -\frac{q_0}{2} \left(\frac{L^2}{4} - L \frac{L}{2}\right) = -\frac{q_0 L^2}{2} \left(\frac{1-2}{4}\right) = \frac{q_0 L^2}{8}$$

– Tensão máxima na viga é dada por,

$$\sigma_{xx} = \frac{-M_z}{I_z} y \rightarrow \sigma_{xx}^{\max} = \frac{M_z^{\max} H}{I_z} \frac{1}{2} = \frac{q_0 \frac{L^2}{8} h}{\frac{bh^3}{12}} \frac{1}{2} = \frac{3}{4} \frac{q_0 L^2}{bh^2} = 7,5q_0$$

A energia de distorção para o estado de tensão na viga ( $\sigma_1 = 7,5q_0$ ,  $\sigma_2 = \sigma_3 = 0$ ) será

$$U_{viga} = \frac{1}{12G} [2\sigma_1^2] = \frac{2\sigma_1^2}{12G} \quad (2)$$

– Igualando (1) e (2), tem-se,

$$\frac{2\tau^2}{12G} = \frac{2\sigma_1^2}{12G} \rightarrow \sigma_1^2 = 3\tau^2 \rightarrow \sigma_1 = \sqrt{3}\tau \rightarrow \frac{3}{4} \frac{q_0 L^2}{bh^2} = \sqrt{3}\tau \rightarrow q_0 = \frac{4\sqrt{3}\tau bh^2}{3L^2}$$

Substituindo os valores, obtém-se o valor de  $q_0$ ,

$$q_0 = \frac{4\sqrt{3}1,27 \times 10^4 (10) (20)^2}{3 (200)^2} = 2940,4 N/cm$$

**QUESTÃO 2 (Valor 2,0):** Considere a viga hiperestática mostrada na Figura 3 constituída de duas seções transversais indicada por  $E_1 I_{z_1}$  e  $E_2 I_{z_2}$ . Pede-se determinar as equações de cada trecho, bem como as equações de equilíbrio e compatibilidade cinemática possibilitando resolver o problema. Indique os números de equações e de incógnitas explicitamente.

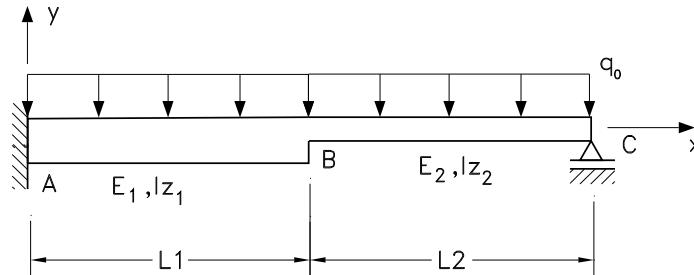


Figura 3: Questão 2.

### Solução da questão 2:

Para a solução deste problema, considera-se a os trechos AB e BC da viga, assim como o equilíbrio da interface entre os dois trechos, como ilustrado respectivamente nas Figuras 4a), c) e b).

**Viga 1 (trecho AB) :** neste caso tem-se como incógnitas as constantes de integração  $C_1, C_2, C_3, C_4$ , assim como os esforços cortante  $V_1$  e momento fletor  $M_1$  na interface dos dois trechos.

- Condições de contorno

$$v_1(x=0) = 0 \quad \theta_{1z}(x=0) = 0 \\ V_{1y}(x=L_1) = V_1 \quad M_z(x=L_1) = M_1$$

- Integração da equação diferencial:  $E_1 I_{z_1} \frac{d^4 v_1}{dx^4} = q(x) = -q_0$

$$E_1 I_{z_1} \frac{d^3 v_1}{dx^3} = V_{1y} = -q_0 x + C_1$$

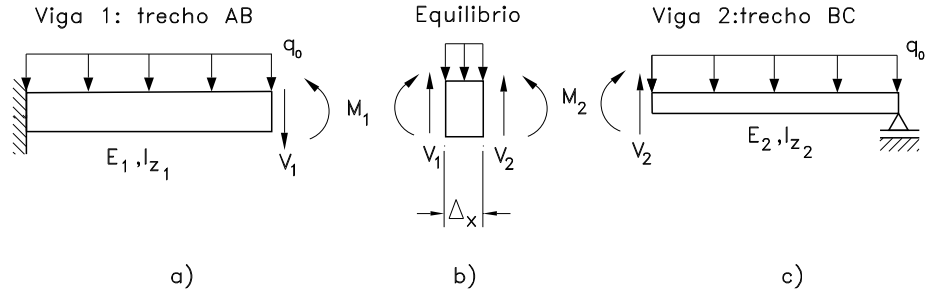


Figura 4: Viga da questão 2: a) trecho AB; b) equilíbrio entre os dois trechos; c) trecho BC.

$$E_1 I_{z_1} \frac{d^2 v_1}{dx^2} = M_{1z} = -q_0 \frac{x^2}{2} + C_1 x + C_2$$

$$E_1 I_{z_1} \frac{dv_1}{dx} = -q_0 \frac{x^3}{6} + C_1 \cdot \frac{x^2}{2} + C_2 x + C_3$$

$$E_1 I_{z_1} v_1 = -q_0 \frac{x^4}{24} + C_1 \cdot \frac{x^3}{6} + C_2 \frac{x^2}{2} + C_3 x + C_4$$

Substituindo as condições de contorno nas expressões anteriores, determinam-se 4 equações.

**Viga 2 (trecho BC)** : neste caso tem-se como incógnitas as constantes de integração  $D_1, D_2, D_3, D_4$ , assim como os esforços cortante  $V_2$  e momento fletor  $M_2$  na interface dos dois trechos.

- Condições de contorno

$$\begin{aligned} V_{2y}(x = L_1) &= V_2 & M_z(x = L_1) &= M_2 \\ v_2(x = L_1 + L_2) &= 0 & M_z(x = L_1 + L_2) &= M_1 \end{aligned}$$

- Integração da equação diferencial:  $E_2 I_{z_2} \frac{d^4 v_2}{dx^4} = -q_0 < x - L_1 >^0$

$$V_{2y} = E_2 I_{z_2} \frac{d^3 v_2}{dx^3} = -q_0 < x - L_1 >^1 + D_1$$

$$M_{2z} = E_2 I_{z_2} \frac{d^2 v_2}{dx^2} = -q_0 < x - L_1 >^2 + D_1 x + D_2$$

$$E_2 I_{z_2} \frac{dv_2}{dx} = -\frac{q_0}{6} < x - L_1 >^3 + D_1 \frac{x^2}{2} + D_2 x + D_3$$

$$E_2 I_{z_2} v_2 = -\frac{q_0}{24} < x - L_1 >^4 + D_1 \frac{x^3}{6} + D_2 \frac{x^2}{2} + D_3 x + D_4$$

Substituindo as condições de contorno nas expressões anteriores, determinam-se mais 4 equações.

**Equilíbrio** : considera-se o equilíbrio dos esforços presentes na interface dos dois trechos, como mostrado na Figura 4b). As condições de equilíbrio são as seguintes:

1.  $\sum F_y = 0 : V_1 + V_2 - q_0 \Delta x = 0 \rightarrow \lim_{\Delta x \rightarrow 0} V_1 + V_2 = 0 \rightarrow V_1 = -V_2$
2.  $\sum M_{z_4} = 0 : -M_1 - V_1 \Delta x + q_0 \frac{\Delta x^2}{2} + M_2 = 0 \rightarrow \lim_{\Delta x \rightarrow 0} -M_1 + M_2 = 0 \rightarrow M_1 = M_2$

O equilíbrio fornece duas equações adicionais relacionando os esforços na interface dos dois trechos.

**Compatibilidade cinemática** : tem-se que os deslocamentos  $v_1, v_2$  e rotações  $\theta_{1z}, \theta_{2z}$  na interface dos dois trechos devem ser iguais. Logo,

$$\begin{aligned} v_1(L_1) &= v_2(L_1) \\ \theta_{1z}(L_1) &= \theta_{2z}(L_1) \end{aligned}$$

chegando-se a mais duas equações.

**Solução** : a partir do desenvolvimento anterior tem-se 12 incógnitas, ou seja, as constantes do trecho AB ( $C_1, C_2, C_3, C_4$ ), do trecho BC ( $D_1, D_2, D_3, D_4$ ) e os esforços na interface ( $V_1, V_2, M_1, M_2$ ). Da mesma maneira, tem-se 12 equações a partir da integração das expressões dos trechos AB e BC, assim como do equilíbrio e das condições de compatibilidade da interface dos trechos AB e BC.

**QUESTÃO 3 (Valor 4,0)**: Para a viga ilustrada na Figura 5, pede-se determinar:

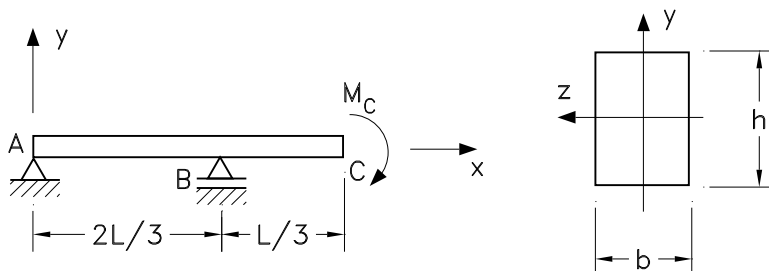


Figura 5: Questão 3.

1. a rotação no ponto C utilizando o princípio da conservação da energia;
2. a rotação no ponto B através do princípio das forças virtuais.

**Solução da questão 3:**

Neste questão, emprega-se o Método das Seções para a determinação dos esforços cortante e momento fletor na viga.

**rotação no ponto C** : a Figura 6 mostra o diagrama de corpo livre da viga, assim como os cortes nos trechos AB e BC.

- Cálculo das reações de apoio

$$\begin{aligned} 1) \sum F_y = 0 : \quad R_{Ay} + R_{By} &= 0 \rightarrow R_{Ay} = -R_{By} \\ 2) \sum M_{zA} = 0 : \quad R_{By} \frac{2}{3}L - M_c &= 0 \rightarrow R_{By} = \frac{2}{3} \frac{M_c}{L} \rightarrow R_{Ay} = -\frac{3}{2} \frac{M_c}{L} \end{aligned}$$

- Equilíbrio das seções

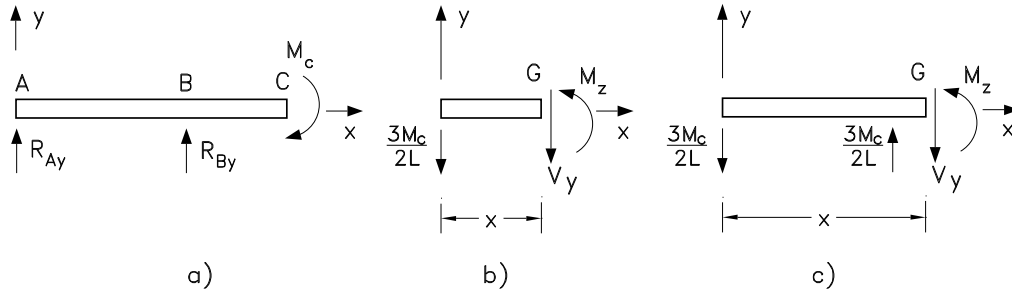


Figura 6: Viga: a) DCL; b) corte no trecho AB; c) corte no trecho BC.

**trecho AB** ( $0 < x < \frac{2}{3}L$ ):

$$1) \sum F_y = 0 : \quad -\frac{3}{2} \frac{M_c}{L} - V_y = 0 \rightarrow V_y = -\frac{3}{2} \frac{M_c}{L} \rightarrow \begin{cases} V_y(x \rightarrow 0^+) = -\frac{3}{2} \frac{M_c}{L} \\ V_y(x \rightarrow \frac{2}{3}L^-) = -\frac{3}{2} \frac{M_c}{L} \end{cases}$$

$$2) \sum M_{zA} = 0 : \quad M_{zA} + \frac{3}{2} \frac{M_c}{L} x = 0 \rightarrow M_z = -\frac{3}{2} \frac{M_c}{L} x \rightarrow \begin{cases} M_z(x \rightarrow 0^+) = 0 \\ M_z(x \rightarrow \frac{2}{3}L^-) = M_c \end{cases}$$

**trecho BC** ( $\frac{2}{3}L < x < L$ ):

$$1) \sum F_y = 0 : \quad -\frac{3}{2} \frac{M_c}{L} + \frac{3}{2} \frac{M_c}{L} x = 0 \rightarrow V_y = 0$$

$$2) \sum M_{zG} = 0 : \quad M_z + \frac{3}{2} \frac{M_c}{L} x - \frac{3}{2} \frac{M_c}{L} \left(x - \frac{2}{3}L\right) = 0 \rightarrow M_z = -M_c$$

- Energia de Deformação:

$$U = \frac{1}{2E} \int_0^L \frac{M_z^2(x)}{I_z(x)} dx + \frac{1}{2G} \int_0^L \xi(x) \frac{V_y^2(x)}{A(x)} dx$$

para  $A(x) = bh$ ,  $I_z(x) = \frac{bh^3}{12}$ ,  $\xi(x) = \frac{6}{5}$ . Como são dois trechos na viga, as integrais na expressão anterior devem ser tomadas para os trechos AB e BC. Logo,

$$U = \frac{1}{2E \frac{bh^3}{12}} \left( \int_0^{\frac{2}{3}L} \frac{9}{4} \frac{M_c^2}{L^2} x^2 dx + \int_{\frac{2}{3}L}^L M_c^2 dx \right) + \frac{1}{2Gbh} \frac{6}{5} \left( \int_0^{\frac{2}{3}L} \frac{9}{4} \frac{M_c^2}{L^2} dx + \int_{\frac{2}{3}L}^L 0 dx \right)$$

$$U = \frac{6}{Ebh^3} \left( \frac{9}{4} \frac{M_c^2}{L^2} \frac{x^3}{3} \Big|_0^{\frac{2}{3}L} + M_c^2 x \Big|_{\frac{2}{3}L}^L \right) + \frac{3}{5Gbh} \left( \frac{9}{4} \frac{M_c^2}{L^2} x \Big|_0^{\frac{2}{3}L} \right)$$

$$U = \frac{6M_c^2}{Ebh^3} \left( \frac{2}{9}L + \frac{L}{3} \right) + \frac{9M_c^2}{10GbhL} = \frac{10M_c^2}{3Ebh^3} + \frac{9M_c^2}{10GbhL}$$

- Princípio da Conservação da Energia:

$$W_c = U \rightarrow \frac{1}{2} M_c \theta_c = \frac{10M_c^2 L}{3Ebh^3} + \frac{9M_c^2}{10GbhL}$$

Assim, a rotação  $\theta_c$  no ponto C é dada por,

$$\theta_c = \frac{20M_c L}{3Ebh^3} + \frac{9M_c}{5GbhL}$$

**rotação no ponto B** : neste caso, emprega-se o sistema auxiliar mostrado na Figura 7a) com o momento  $\bar{M}$  aplicado em  $x = 2L/3$ . Emprega-se o método das seções para a determinação de  $V_y$  e  $M_z$  nos trechos AB e BC, empregando, respectivamente, os cortes ilustrados nas Figuras 7b) e c).

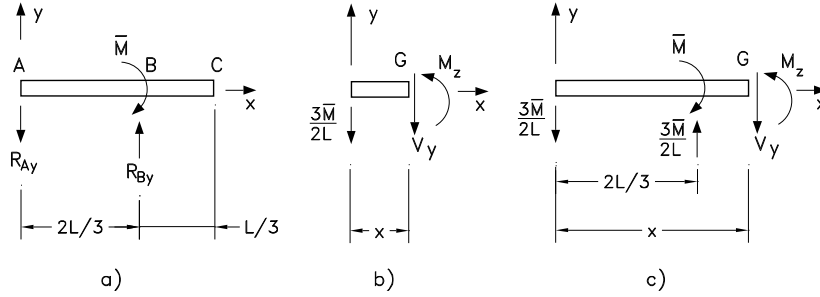


Figura 7: Sistema auxiliar: a) DCL; b) corte no trecho AB; c) corte no trecho BC.

- As reações de apoio são iguais ao caso anterior, estando, no entanto, dadas em função de  $\bar{M}$ , ou seja,  $R_{Ay} = -\frac{3}{2}\frac{\bar{M}}{L}$  e  $R_{By} = \frac{3}{2}\frac{\bar{M}}{L}$ .
- Equilíbrio das seções

**trecho AB** ( $0 < x < \frac{2}{3}L$ ):

$$\begin{aligned} 1) \sum F_y = 0 : \quad & -V_y - \frac{3}{2}\frac{\bar{M}}{L} = 0 \rightarrow V_y = -\frac{3}{2}\frac{\bar{M}}{L} \\ 2) \sum M_{zG} = 0 : \quad & M_z + \frac{3}{2}\frac{\bar{M}}{L}x = 0 \rightarrow M_z = -\frac{3}{2}\frac{\bar{M}}{L}x \end{aligned}$$

**trecho BC** ( $\frac{2}{3}L < x < L$ ):

$$\begin{aligned} 1) \sum F_y = 0 : \quad & -\frac{3}{2}\frac{\bar{M}}{L} - \frac{3}{2}\frac{\bar{M}}{L} = 0 \rightarrow V_y = 0 \\ 2) \sum M_{zG} = 0 : \quad & \frac{3}{2}\frac{\bar{M}}{L}x - \bar{M} - \frac{3}{2}\frac{\bar{M}}{L}\left(x - \frac{3}{2}L\right) + M_z = 0 \rightarrow M_z = 0 \end{aligned}$$

- Energia de deformação

$$\delta U = \int_0^L \left[ \frac{\bar{M}_z(x) M_z(x)}{EI_z(x)} + \xi(x) \frac{\bar{V}_y(x) V_y(x)}{GA(x)} \right] dx$$

$$\delta U = \frac{12}{Ebh^3} \int_0^{\frac{2}{3}L} \left( -\frac{3}{2}\frac{\bar{M}}{L}x \right) \left( -\frac{3}{2}\frac{\bar{M}_c}{L}x \right) dx + \frac{8}{Gbh} \int_0^{\frac{2}{3}L} \left( -\frac{3}{2}\frac{\bar{M}}{L} \right) \left( -\frac{3}{2}\frac{\bar{M}_c}{L} \right) dx$$

$$\delta U = \frac{12}{Ebh^3} \frac{9\bar{M}\bar{M}_c}{4L^2} \frac{x^3}{3} \Big|_0^{\frac{2}{3}L} + \frac{\xi}{Gbh} \frac{9\bar{M}\bar{M}_c}{4L^2} x \Big|_0^{\frac{2}{3}L}$$

$$\delta U = \frac{12}{Ebh^3} \frac{9\bar{M}\bar{M}_c}{4L^2} \frac{8L^3}{(3)(27)} + \frac{\xi}{Gbh} \frac{9\bar{M}\bar{M}_c}{4L^2} \frac{2L}{3}$$

$$\delta U = \frac{8}{3} \frac{\bar{M}\bar{M}_c L}{Ebh^3} + \frac{3}{2} \frac{\bar{M}\bar{M}_c}{GbhL} \xi$$

- Aplicando o Princípio das Forças Virtuais, tem-se a rotação  $\theta_B$  no ponto B,

$$\delta W = \bar{M}\theta_B = \delta U \rightarrow \theta_B = \frac{8M_c L}{3Ebh^3} + \frac{3M_c}{2GbhL}\xi$$

**QUESTÃO 4 (Valor 2,0):** Para a coluna de seção retangular  $b \times h$  mostrada abaixo calcule a carga crítica de flambagem. Sabendo-se que o material da coluna tem um comportamento frágil e analisando a curva tensão/deformação da Figura 8, determine o comprimento abaixo do qual não haverá falha por flambagem, mas sim por fratura. Dados:  $b = 5cm$ ;  $h = 10cm$ ;  $L = 2m$ ;  $E = 20 \times 10^6 N/cm^2$ ;  $\sigma_{ult} = 250MPa$ .

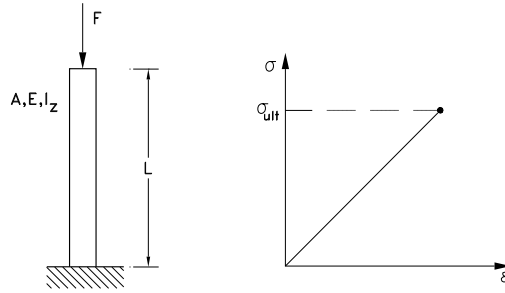


Figura 8: Questão 4.

**Solução da questão 4:**

- Caso a viga apresente flambagem será em relação ao eixo de menor momento de inércia  $I_z^{min}$ . Para este caso, tem-se,

$$I_z^{min} = \frac{hb^3}{12} = \frac{(10)(5)^3}{12} = 104,17cm^4$$

A carga crítica de flambagem é calculada como,

$$F_{crit} = \frac{\pi^2 EI_z^{min}}{L_{eq}^2}$$

devendo-se observar que o comprimento equivalente para as condições de contorno dadas é calculado como  $L_{eq} = 2L = 2(2) = 4m = 400cm$ . Logo,

$$F_{crit} = \frac{\pi^2(20 \times 10^6)(104,17)}{(400)^2} = 1,28 \times 10^5 N$$

- A falha por fratura acontecerá caso

$$F_{ult} > F_{crit}$$

ou seja,

$$\bar{\sigma}_{ult}A > \frac{\pi^2 EI_z}{L_{eq}^2} \rightarrow (2L)^2 > \frac{\pi^2 EI_z}{\bar{\sigma}_{ult}A} \rightarrow L > \sqrt{\frac{\pi^2 EI_z}{4\bar{\sigma}_{ult}A}}$$



Portanto,

$$L > \sqrt{\frac{\pi^2 20 \times 10^6 (104, 17)}{4(2500)(5)(10)}} \rightarrow L > 64, 13cm$$

Logo, o comprimento mínimo onde ocorrerá flambagem será 64, 13cm.